

УДК 517.925:519.61:531.5:681.3

А.В. ЧИЧУРИН**НЕКОТОРЫЕ НЕЛИНЕЙНЫЕ МАТЕМАТИЧЕСКИЕ МОДЕЛИ И ИХ ИССЛЕДОВАНИЕ С ПОМОЩЬЮ ЧИСЛЕННОГО ИНТЕГРИРОВАНИЯ**

Рассматриваются следующие математические модели: космодинамическая трехкольцевая ограниченная модель четырнадцати тел, популяционные двухвидовые модели типа Лотке-Вольтерра и модель Лоренца. С помощью численного интегрирования, реализуемого посредством систем компьютерной математики, исследуется влияние параметров на характер решений систем дифференциальных уравнений, входящих в рассматриваемые модели. Средства графической визуализации демонстрируют характер и топологию положений равновесия. Анимационные составляющие позволяют проследить поведение решений (поведение описываемых объектов) в режиме реального времени.

1. Космодинамическая модель.

Рассмотрим ограниченную трехкольцевую задачу четырнадцати тел с неполной симметрией [1], существование которой было доказано в работах [2–4]. Опишем соответствующую математическую модель неограниченной задачи тринадцати тел, порождающую ограниченную задачу для четырнадцати тел [1]. Имеется тринадцать взаимно гравитирующих $P_0, P_1, P_2, \dots, P_{12}$ тел с массами $m_0, M_1=M_2=M_3=M_4=m_1, M_5=M_6=M_7=M_8=m_2, M_9=M_{10}=M_{11}=M_{12}=m_3$. Более того, тела P_1, P_2, \dots, P_{12} образуют три правильных квадрата (положим, что $P_0P_1=1, P_0P_5=\alpha, P_0P_9=\beta$) с общим центром (Рисунок 1).

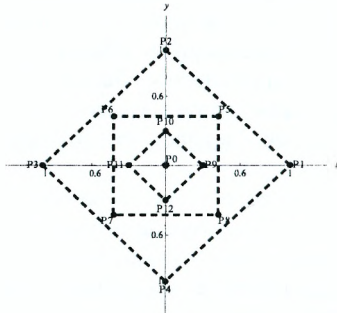


Рисунок 1 —. Модель 13-ти тел с неполной симметрией
(вариант расположения, $\alpha < \beta < 1$)

Массы в вершинах каждого квадрата (Рисунок 1) взаимно равны, первый квадрат ориентирован относительно второго квадрата на угол $\pi/4$ [5]. Второй и третий квадраты гомотетичны.

Математическая модель ограниченной задачи 14 тел с неполной симметрией (три кольца) описывается во вращающейся системе координат P_0xyz системой дифференциальных уравнений [1]

$$\frac{d^2x}{dt^2} = 2\omega \frac{dy}{dt} + \omega^2 x + \frac{\partial U}{\partial x}, \quad \frac{d^2y}{dt^2} = -2\omega \frac{dx}{dt} + \omega^2 y + \frac{\partial U}{\partial y}, \quad \frac{d^2z}{dt^2} = \frac{\partial U}{\partial z}, \quad (1)$$

$$\text{где } U(x, y, z) = f \left(\frac{m_0}{\Delta_0} + m_1 \sum_{i=1}^4 \frac{1}{\Delta_i} + m_2 \sum_{j=1}^4 \frac{1}{\Delta_j} + m_3 \sum_{k=1}^4 \frac{1}{\Delta_k} \right),$$

$$\Delta_0 = \sqrt{x^2 + y^2 + z^2}, \quad \Delta_i = \sqrt{(x - x_i)^2 + (y - y_i)^2 + (z - z_i)^2},$$

$$x_i = \cos \frac{\pi(i-1)}{2}, \quad y_i = \sin \frac{\pi(i-1)}{2}, \quad z_i = 0 \quad (i = \overline{1,4}), \quad (2)$$

$$\Delta_j = \sqrt{(x - x_j)^2 + (y - y_j)^2 + (z - z_j)^2}, \quad x_j = \alpha \cos \left(\frac{\pi(j-1)}{2} + \frac{\pi}{4} \right),$$

$$y_j = \alpha \sin \left(\frac{\pi(j-1)}{2} + \frac{\pi}{4} \right), \quad z_j = 0 \quad (j = \overline{1,4}),$$

$$\Delta_k = \sqrt{(x - x_k)^2 + (y - y_k)^2 + (z - z_k)^2},$$

$$x_k = \beta \cos \frac{\pi(k-1)}{2}, \quad y_k = \beta \sin \frac{\pi(k-1)}{2}, \quad z_k = 0 \quad (k = \overline{1,4}),$$

а квадрат угловой скорости вращения ω^2 определяется соотношениями

$$\omega^2 = \omega_1^2 = \omega_2^2 = \omega_3^2,$$

$$\begin{aligned} \omega_1^2 x_{lk} = & \frac{m_0 x_{lk}}{(x_{lk}^2 + y_{lk}^2)^{3/2}} + \sum_{\substack{1 \leq r \leq 3 \\ r \neq l}} m_r \sum_{j=1}^4 \frac{x_{lk} - x_{rj}}{\left((x_{lk} - x_{rj})^2 + (y_{lk} - y_{rj})^2 \right)^{3/2}} + \\ & + m_l \sum_{\substack{j=1 \\ j \neq k}}^4 \frac{x_{lk} - x_{lj}}{\left((x_{lk} - x_{lj})^2 + (y_{lk} - y_{lj})^2 \right)^{3/2}}, \end{aligned} \quad (3)$$

$$\begin{aligned} \omega_1^2 y_{lk} = & \frac{m_0 y_{lk}}{(x_{lk}^2 + y_{lk}^2)^{3/2}} + \sum_{\substack{1 \leq r \leq 3 \\ r \neq l}} m_r \sum_{j=1}^4 \frac{y_{lk} - y_{rj}}{\left((x_{lk} - x_{rj})^2 + (y_{lk} - y_{rj})^2 \right)^{3/2}} + \\ & + m_l \sum_{\substack{j=1 \\ j \neq k}}^4 \frac{y_{lk} - y_{lj}}{\left((x_{lk} - x_{lj})^2 + (y_{lk} - y_{lj})^2 \right)^{3/2}}, \end{aligned}$$

здесь l – означает номер окружности ($l = 1, 2, 3$), k – номер вершины на заданной окружности ($k = 1, 2, 3, 4$), q_{lk} – любую координату точки $P_{l,k}$:

$$\begin{aligned}
 P_1: x_{11} = 1, y_{11} = 0, \quad P_2: x_{12} = 0, y_{12} = 1, \\
 P_3: x_{13} = -1, y_{13} = 0, \quad P_4: x_{14} = 0, y_{14} = -1, \\
 P_5: x_{21} = \frac{\alpha}{\sqrt{2}}, y_{21} = \frac{\alpha}{\sqrt{2}}, \quad P_6: x_{22} = -\frac{\alpha}{\sqrt{2}}, y_{22} = \frac{\alpha}{\sqrt{2}}, \\
 P_7: x_{23} = -\frac{\sqrt{3}}{2}\alpha, y_{23} = -\frac{\alpha}{\sqrt{2}}, \quad P_8: x_{24} = \frac{\alpha}{\sqrt{2}}, y_{24} = -\frac{\alpha}{\sqrt{2}}, \\
 P_9: x_{31} = \beta, y_{31} = 0, \quad P_{10}: x_{32} = 0, y_{32} = \beta, \\
 P_{11}: x_{33} = -\beta, y_{33} = 0, \quad P_{12}: x_{34} = 0, y_{34} = -\beta.
 \end{aligned} \tag{4}$$

Замечание 1. Условия (3) вытекают из теоремы Банка-Эльмабсута [5, 6] и являются условиями существования точных гомографических решений в задаче взаимно притягивающихся 13 тел.

Способ нахождения положений равновесия рассматриваемой задачи, ее визуализация, а также координаты положений равновесия, приведены в [1]. Согласно теореме Банка-Эльмабсута [5, 6] из соотношений (3) находим квадрат угловой скорости вращения всех трех квадратов вокруг центра P_0 в следующем виде:

$$\begin{aligned}
 \omega^2 = m_0 + \left(\frac{1}{4} + \frac{1}{\sqrt{2}} \right) m_1 + \left(\frac{2 - \sqrt{2} \alpha}{(\alpha^2 - \sqrt{2} \alpha + 1)^{3/2}} + \frac{2 + \sqrt{2} \alpha}{(\alpha^2 + \sqrt{2} \alpha + 1)^{3/2}} \right) m_2 + \\
 + \left(\frac{2}{(\beta^2 + 1)^{3/2}} - \frac{1}{(\beta - 1)|\beta - 1|} + \frac{1}{(\beta + 1)^2} \right) m_3.
 \end{aligned} \tag{5}$$

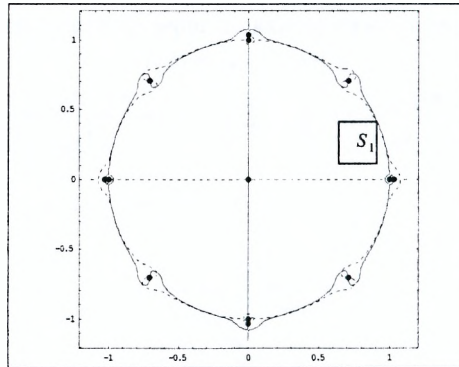


Рисунок 2 – Положения равновесия – точки пересечения обеих кривых. Жирными точками обозначены гравитирующие точки, находящиеся в вершинах трех квадратов

Численные исследования положений равновесия.

Используя алгоритмы и методы ССВ *Mathematica*, решим уравнения (1) численными методами, приведенными в работах [8-10].

Согласно классификации, приведенной в работах [11, 12] точка S_1 и симметричные ей точки являются нерадиальными положениями равновесия. В работах [6, 9] было доказано, что в случае одно и двух кольцевых задач они являются устойчивыми по Ляпунову положениями равновесия.

Будем рассматривать точку S_1 с координатами

$$x_1 = 0.97502446651498823853, y_1 = 0.97502446651498823853. \quad (6)$$

Решим систему дифференциальных уравнений (1), (2), (5), (6) с начальными условиями

$$x(0) = x_1, y(0) = y_1, x'(0) = 0, y'(0) = 0, \quad (7)$$

например, для $0 < t < 10000$, используя возможности системы *Mathematica* [6-9]:

$$\rho_1 = \text{NDSolve}[\{x''[t] - 2\omega y'[t] = g, x[0] = x_1, x'[0] = 0, \\ y''[t] + 2\omega x'[t] = h, y[0] = y_1, y'[0] = 0\}, \{x, y\}, \{t, 0, 10000\}];$$

где функции g и h определяются из формул (3) и (4), здесь ω – угловая скорость с которой вращаются квадраты (определяется из формулы (5)).

Результат получен в виде интерполяционных функций. Построим графики этих интерполяционных функций для различных значений t [6, 9, 10] на временных промежутках (0,100), (0,10000) (Рисунок 3, 4; оси координат проходят через рассматриваемую точку S_1).

Для $0 < t < 100$ имеем

```
ParametricPlot[Evaluate[{x[t], y[t]} /. \rho_1], {t, 0, 100}, AxesLabel -> {"x[t]", "y[t]"},
  AxesOrigin -> {x_1, y_1}, AspectRatio -> 1, PlotRange -> All, PlotPoints -> 50000]
```

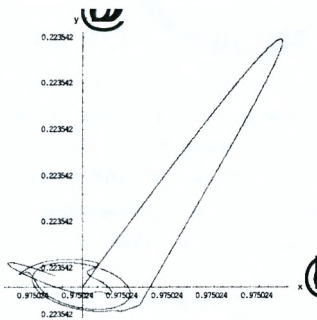


Рисунок 3 – График решения задачи Коши (1), (2), (5), (6), (7) для $0 < t < 100$

Для $0 < t < 10000$ имеем

*ParametricPlot[Evaluate[{x[t], y[t]}/ρ₁], {t, 0, 10000}, AxesLabel → {"x[t]", "y[t]"},
AxesOrigin → {x₁, y₁}, AspectRatio → 1, PlotRange → All, PlotPoints → 50000]*

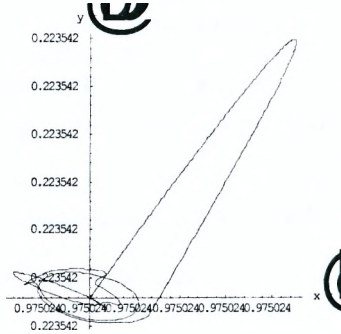


Рисунок 4 – График решения задачи Коши (1), (2), (5), (6), (7) для $0 < t < 10000$

Решим теперь задачу Коши (1), (2), (5), (6), (7), где координаты точки S_1 возьмем с большей точностью

$$x_1 = 0.9750244666514988238525345619102197850055657252898807015255149140612054447882$$

$$y_1 = 0.223541709590483115128615582356657699413109322426605660119275959585220693950. (8).$$

Изменим теперь начальные условия и возмущая немного начальные координаты

$$x(0) = x_1 + 0.0001, y(0) = y_1 + 0.0001, x'(0) = 0, y'(0) = 0, \quad (9)$$

в результате численного интегрирования, получим:

а) для $0 < t < 200$ визуализацию решения (Рисунок 5)

Вывод 1. При рассмотренных изменениях начальных условий траектория не отдалается от положения равновесия S_1 . На основании приведенных вычислительных экспериментов (Рисунок 3-6) можно предположить, что движение устойчиво, или точнее не противоречит свойству устойчивости.

Изменим далее начальные условия, придавая большие возмущения начальным координатам, не изменяя начальные скорости.

$$x(0) = x_1 + 0.0023, y(0) = y_1 + 0.0023, x'(0) = 0, y'(0) = 0. \quad (10)$$

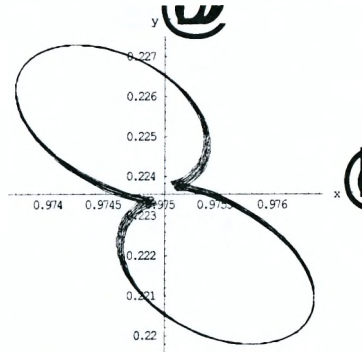


Рисунок 5 – График решения задачи Коши (1), (2),(5), (8), (9) для $0 < t < 200$

б) для $0 < t < 1000$ визуализацию решения (Рисунок 6)

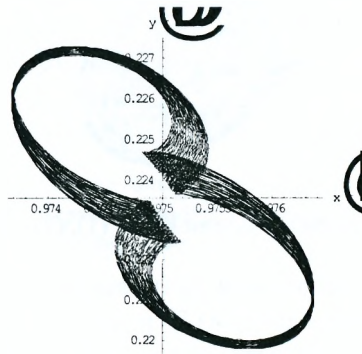


Рисунок 6 – График решения задачи Коши (1), (2),(5), (8), (9) для $0 < t < 1000$.

Тогда результаты численного интегрирования выглядят следующим образом:

а) для $0 < t < 200$

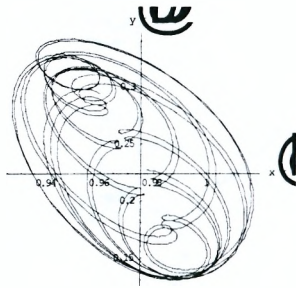


Рисунок 7 – График решения задачи Коши (1), (4), (8), (10) для $0 < t < 200$

б) для $0 < t < 600$

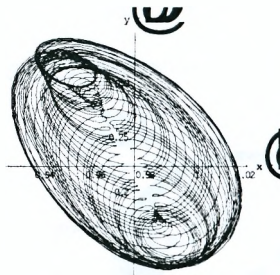


Рисунок 8 – График решения задачи Коши (1), (4), (8), (10) для $0 < t < 600$

Покажем поведение функции $\Delta\rho(t)$ локального расстояния точки на траектории от стационарной точки (S_1) в момент t (Рисунок 9).

Вывод 2. Вычисления показывают, что существуют достаточно большие промежутки времени на которых траектория существенно не удаляется от положения равновесия.

Замечание 2. При проведении исследований мы брали значения $m_1 = 0.0001$, $\alpha = 0.99999$. Другие значения величин m_1 , α можно взять из интервалов, приведенных в работе [13], в которых точки равновесия обладают свойством линейной устойчивости.

Замечание 3. При проведении численного интегрирования для радиальных положений равновесия (то есть для точек, принадлежащим прямым, проходящим через центральное тело и одно из тел квадратов) убеждаемся, что для достаточно малых времен ($t < 100$) траектории

существенно удаляются от положения равновесия, что противоречит свойству устойчивости.

`Plot[$\Delta\rho(t)$, { t , 0, 1000}, AxesLabel -> {" t ", " $\Delta\rho(t)$ "}]`

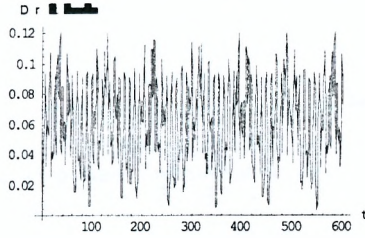


Рисунок 9 – График локального расстояния точки на траектории от стационарной точки (S_1) в момент t ($0 < t < 600$) для начальных условий (8), (9)

2. Модели Лотке-Вольтерра.

Рассматриваются классические модели Лотке-Вольтерра «хищник-жертва»

$$\frac{dx}{dt} = ax - bxy, \quad \frac{dy}{dt} = -cy + dxy, \quad (11)$$

$$\frac{dx}{dt} = x(a - px - ry), \quad \frac{dy}{dt} = y(b - qx - sy), \quad (12)$$

где a, b, c, d, p, r, q, s – положительные постоянные. Используя методы исследования работы [13], нарисуем портрет фазовых траекторий системы (1) (Рисунок 10) и зависимости численности хищников и жертв от времени (Рисунок 11).

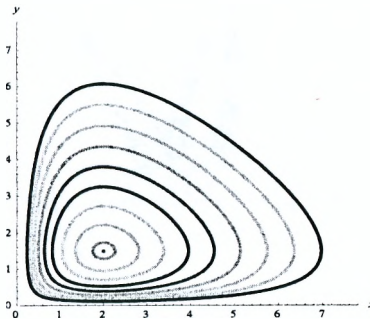


Рисунок 10 – Фазовый портрет системы (11) для $a = 2, b = 1, c = 3, d = 1$

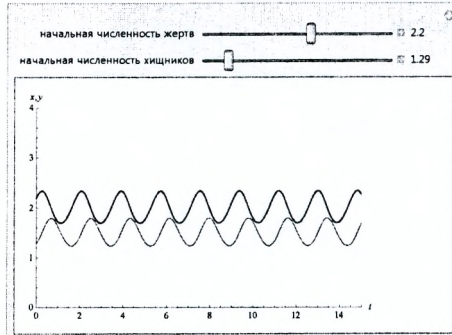


Рисунок 11 – Зависимости численности хищников и жертв от времени

3. Модель Лоренца. Рассмотрим простой пример хаотической системы, известной как аттрактор Лоренца и возникающий при исследовании атмосферных явлений [14]. В кодах системы *Mathematica* удобно записать решение в следующем виде

$$\text{sys} = \left\{ \frac{dx}{dt} = -2.8(x - y), \frac{dy}{dt} = -1.2xz + 25.5x - y, \frac{dz}{dt} = xy - z, x[0] = z[0] = 0, y[0] = 1 \right\};$$

$$\text{sol} = \text{DSolve}[\text{sys}, \{x, y, z\}, \{t, 0, 190\}, \text{MaxSteps} \rightarrow \text{Infinity}];$$

В результате получим три интерполяционные функции, визуализация которых в трехмерном пространстве *Oxyz* с помощью команды *ParametricPlot3D* (Рисунок 12).

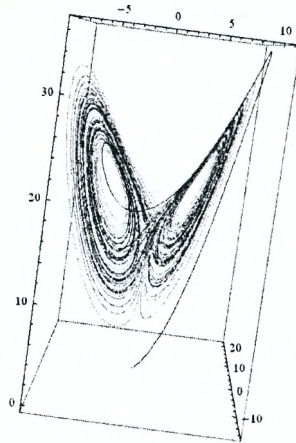


Рисунок 12 – График кривой с «эффектом бабочки»

СПИСОК ЛИТЕРАТУРЫ

1. Гадомский, Л. Построение математических моделей для задач космической динамики в системе компьютерной алгебры Mathematica / Л. Гадамский, И.Р. Ковальчук, А.В. Чичурин. – М.: МАКС Пресс, 2007. – 112 с.

2. Elmabsout, B. Sur l'existence de certaines configurations d'équilibre relatif dans le probleme des n corps / B. Elmabsout // Celestial Mechanics and Dynamical Astronomy. Vol. 41, 1988. - P. 131–151.

3. Grebenicov, E. New exact solutions in the planar, symmetrical $(n+1)$ -body problem / E. Grebenicov // Rom. Astron. J., 1998. Vol. 7, № 2, – P. 151–156.

4. Grebenicov, E. Two New Dynamical Models in Celestial Mechanics / E. Grebenicov // Rom. Astron. J., 1998. Vol. 8, № 1, – P. 13–19.

5. Bank, D. Configurations polygonales en equilibre relative/ D. Bank, B. Elmabsout - Paris: C.R. Acad. Sci., 2001. Vol. 329, Serie II b. – P. 243–248.

6. Ихсанов, Е. В. Компьютерные методы нормализации гамильтонианов ограниченных задач небесной механики / Е.В. Ихсанов – М.: Изд-во РУДН, 2004. – 132 с.

7. Wolfram Web Resources [Electronic resource] / ed. S. Wolfram. – Champaign, 2012. – Mode of access: www.wolfram.com. – Date of access: 1.03.2012.

8. Прокопеня, А. Н. Применение системы Mathematica к решению обыкновенных дифференциальных уравнений / А.Н. Прокопеня, А.В. Чичурин. – Минск: БГУ, 1999. – 256 с.

9. Козак-Сковородкин, Д. Применение компьютерной системы Mathematica в качественных исследованиях ньютоновой проблемы многих тел / Д. Козак-Сковородкин – М.: РУДН, 2005. – 146 с.

10. Чичурин, А.В. Численные исследования ограниченной ньютоновой задачи четырнадцати тел с неполной симметрией / А.В. Чичурин // Труды ИСА РАН, Том. 32 (3), 2008. – С. 210–230.

11. Гребеников, Е.А. Методы компьютерной алгебры в проблеме многих тел / Е.А. Гребеников, Д. Козак, М. Якубяк – М.: Изд-во РУДН, 2002. – 209 с.

12. Чичурин, А.В. Резонансы частот линейной устойчивости ограниченной трехкольцевой задачи четырнадцати тел с неполной симметрией / А.В. Чичурин // Тезисы второй международной математической конференции «Математическое моделирование и дифференциальные уравнения» (24-28 августа 2009 г., Минск, БГУ) - Минск, ИМ НАН Беларуси, 2009. – Ч.1. – С. 92–93.

13. Abell, M.L. Differential Equations with Mathematica / M.L. Abell, J.P. Braselton – Elsevier Academic Press, 2004. – P. 876.

14. Электронный ресурс. – Режим доступа : <http://demonstrations.wolfram.com/LorenzAttractor>.